

В. К. КУЗНЕЦОВ

РЕФРАКЦИЯ НОРМАЛЬНЫХ ВОЛН В КЛИНЕ, ЛЕЖАЩЕМ НА ПОЛУПРОСТРАНСТВЕ

Исследуется гидроакустическая задача распространения низкочастотного звука в прибрежной полосе шельфа в условиях переменной глубины. В соответствии с принятыми в гидроакустике и геофизике представлениями область шельфа рассматривается как клиновидная область.

Геометрия задачи изображена на рисунке. Клиновидная область с углом раствора Φ характеризуется волновым числом среды k_1 и плотностью ρ_1 , полупространство — соответственно k_2 и ρ_2 . Полупространство считаем жидким, как это принято в теории распространения звука в мелком море [1]. Звуковое поле представим величиной звукового потенциала ψ :

$$\frac{\partial^2 \psi_1}{\partial z^2} + \frac{\partial^2 \psi_1}{\partial r^2} + \frac{1}{r} \frac{\partial \psi}{\partial r} + \frac{1}{r^2} \frac{\partial^2 \psi_1}{\partial \varphi^2} + k_1^2 \psi_1 = 0 \quad (0 \leq \varphi \leq \Phi), \quad (1)$$

$$\frac{\partial^2 \psi_2}{\partial z^2} + \frac{\partial^2 \psi_2}{\partial r^2} + \frac{1}{r} \frac{\partial \psi_2}{\partial r} + \frac{1}{r^2} \frac{\partial^2 \psi_2}{\partial \varphi^2} + k_2^2 \psi_2 = 0 \quad (0 \leq \varphi \leq \pi + \Phi).$$

При этом $\rho_1 \psi_1 = \rho_2 \psi_2$ на границе $\varphi = \Phi$; $\psi_1 = 0$ на $\varphi = 0$;

$$\psi_2 = 0 \text{ на } \varphi = \Phi + \pi; \quad \frac{\partial \psi_1}{\partial \varphi} = \frac{\partial \psi_2}{\partial \varphi} \text{ на } \varphi = \Phi.$$

Характер граничных условий на $\varphi = \Phi$ не позволяет получить строгое решение в разделенном относительно координаты φ виде. Однако для достаточно больших значений r можно получить приближенное решение в виде ряда нормальных волн путем не строгого разделения:

$$\begin{aligned} \psi_1 &= u_1(r, z) F_1(\varphi, \mu(r)), \\ \psi_2 &= u_2(r, z) F_2(\varphi, \mu(r)). \end{aligned} \quad (2)$$

Произведя преобразования

$$U_1(r, z) = \frac{W_1(r, z)}{\sqrt{r}}; \quad U_2(r, z) = \frac{W_2(r, z)}{\sqrt{r}}, \quad (3)$$

путем подстановки (3) и (2) в (1) перейдем к уравнениям

$$\frac{\partial^2 W_1}{\partial z^2} + \frac{\partial^2 W_1}{\partial r^2} + \left(k_1^2 - \frac{4\mu_1^2(r) - 1}{4r^2} \right) W_1 = 0,$$

$$\frac{\partial^2 W_2}{\partial z^2} + \frac{\partial^2 W_2}{\partial r^2} + \left(k_2^2 + \frac{4\mu_2^2(r) + 1}{4r^2} \right) W_2 = 0, \quad (4)$$

$$\frac{\partial^2 F_1}{\partial \varphi^2} + \mu_1^2(r) F_1 = 0; \quad \frac{\partial^2 F_2}{\partial \varphi^2} - \mu_2^2(r) F_2 = 0. \quad (5)$$

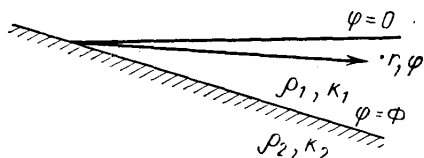


Рис. 1

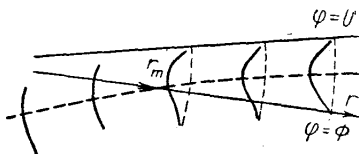


Рис. 2

Величины $\mu_1^2(r)$ и $-\mu_2^2(r)$ играют роль констант разделения и определяются из граничных условий. Граничные условия можно переписать в таком виде:

$$W_1(r, z) \equiv W_2(r, z) \equiv W(r, z); \quad F_1 \rho_1 = F_2 \rho_2 \text{ на } \varphi = \Phi; \quad F_1 = 0 \text{ на } \varphi = 0$$

$$F_2 = 0 \text{ на } \varphi = \Phi + \pi; \quad \frac{\partial F_1}{\partial \varphi} = \frac{\partial F_2}{\partial \varphi} \text{ на } \varphi = \Phi.$$

Решение уравнений (5) возьмем в виде $F_1 = A_1 \sin \mu_1 \varphi$ и $F_2 = A_2 e^{-\mu_2 \varphi}$, удовлетворяющем условию $F_1 = 0$ на $\varphi = 0$ и приближенному условию $F_2 \approx 0$ на $\varphi = \Phi + \pi$. Очевидно условие $W_1 \equiv W_2$ удовлетворяется только в том случае, если коэффициенты при W_1 и W_2 в уравнении (4) равны, т. е.

$$k_1^2 - \mu_1^2/r^2 = k_2^2 + \mu_2^2/r^2. \quad (6)$$

Из условия на границе $\varphi = \Phi$ находим $\frac{A_1}{A_2} = \rho_2/\rho_1 e^{-\mu_2 \Phi} \frac{1}{\sin \mu_1 \Phi}$ и $\mu_1 = -\mu_2 \rho_1/\rho_2 \operatorname{tg}(\mu_1 \Phi)$. С помощью (6) исключаем μ_2 и получаем дисперсионное уравнение

$$\operatorname{tg} \mu_1 \Phi = l \frac{\mu_1}{\sqrt{k_1^2 r^2 (1 - n^2) - \mu_1^2}}; \quad n = k_2/k_1; \quad l = \rho_2/\rho_1; \quad (7)$$

Оно аналогично дисперсионному уравнению в задаче для плоского слоя, лежащего на полупространстве [1]. Запишем его в другом виде, явно содержащем порядок нормальной волны m :

$$\mu_1 = m \frac{\pi}{\Phi} - \frac{1}{\Phi} \operatorname{arctg} \left[\rho_2/\rho_1 \frac{\mu_1}{\sqrt{k_1^2 r^2 (1 - n^2) - \mu_1^2}} \right]; \quad m = 1, 2, 3, \dots \quad (8)$$

Величины μ_1 и μ_2 определяют профиль нормальной волны, т. е. распределение звукового давления по координате φ . Они находятся из (8) и (6).

Распределение поля нормальной волны в плоскости (r, z) , т. е. функция $W(r, z)$, определяется уравнением:

$$\frac{\partial^2 W}{\partial z^2} + \frac{\partial^2 W}{\partial r^2} + (k_1^2 - \mu_1^2/r^2) W = 0, \quad (9)$$

полученным из (4) с учетом (6) и при $\mu_1 \gg 1$. (Единица в выражении $\frac{4\mu^2 - 1}{4r^2}$ уравнений (4) учитывает дифракцию на угловой точке [2].

У нормальных волн не нулевого порядка дифракция на угловой точке не играет заметной роли даже в случае клина с идеально отражающими границами.)

Из (9) следует, что здесь, как и в «идеальном» клине [3], нормальная волна распространяется подобно волне в слоистонеоднородной среде с показателем преломления $n_m = \sqrt{1 - \frac{\mu_1^2}{k_1^2 r^2}}$, испытывая рефракцию. Существенное усложнение в сравнении со случаем «идеального» клина привносится фактом зависимости μ_1 от r , выраженной трансцендентным уравнением (8). Формальное решение (9) в случае «плоской» нормальной волны, распространяющейся из $r = \infty$, можно написать в виде приближения ВКБ

$$W(r, z) = \frac{ik_1 (\cos \gamma_0 z + \int_{r_1}^{r_2} \sqrt{\sin^2 \gamma_0 - \mu_1^2 / k_1^2 r^2} dr) \cdot ik_1 (\cos \gamma_0 z + \int_{r_1}^{r_2} \sqrt{\sin^2 \gamma_0 - \mu_1^2 / k_1^2 r^2} dr)}{\sqrt{\sin^2 \gamma_0 - \mu_1^2 / k_1^2 r^2}}. \quad (10)$$

Через γ_0 обозначен угол первоначального направления распространения, отсчитываемый от оси z .

Из дисперсионного уравнения (8) видно, что по отношению к нормальной волне заданного порядка m вся область клина разбивается на две подобласти, разграниченные прямой

$$r = r_m = \frac{(2m - 1)\pi}{2k_1 \Phi \sqrt{1 - n^2}}. \quad (11)$$

В подобласти $r > r_m$ μ_1 принимает вещественные значения. Эту подобласть мы будем называть волноводной зоной. В ней допустимо нестрогое разделение переменных и поле представляется в виде ряда не взаимодействующих между собой и не затухающих нормальных волн. Подобласть $r < r_m$ будем называть неволноводной зоной, а границу $r = r_m$ — линией выхода нормальной волны из клина в полупространство. Смысл последнего определения виден из рис. 2, где изображена последовательность профилей нормальной волны первого порядка для различных значений r . В области больших значений r $\mu_1 \approx m \frac{\pi}{\Phi}$, т. е.

профиль нормальной волны почти не отличается от профиля нормальной волны в клине с акустически мягкими границами. По мере приближения к линии $r = r_m$ максимум профиля опускается и вместе с тем растет его экспоненциальная часть в полупространстве — нормальная волна как бы медленно погружается в полупространство. На линии $r = r_m$ максимум профиля достигает границы $\varphi = \Phi$. (Если речь идет о нормальной волне второго или более высокого порядка, то имеется в виду нижний максимум ее профиля.) На линии $r = r_m$ $\mu(r_m) = m \frac{\pi}{\Phi} - \frac{\pi}{2\Phi}$, как в плоском слое критической толщины. Таким образом, наряду с рефракцией нормальной волны в «горизонтальной» плоскости (r, z) здесь имеет место также смещение нормальной волны в

вертикальной плоскости $z = \text{const}$, которое приводит при определенных условиях к излучению энергии нормальной волны в полупространство в окрестности линии $r = r_m$. При этом происходит также частичное отражение нормальной волны обратно в волноводную зону. Однако преломленная в полупространство часть нормальной волны является преобладающей в типичных гидроакустических ситуациях, так что имеет смысл говорить о выходе нормальных волн из клина в полупространство [4].

Дисперсионное уравнение (8) в неволноводной зоне не работает, и полученные результаты непосредственным образом не применимы для описания полей, вышедших в полупространство нормальных волн. Тем не менее с помощью представления нормальных волн в клине в виде волн Брюллюэна, претерпевающих многократные отражения от границ клина, оказалось возможным описать и выход нормальных волн в полупространство и наблюдающееся при этом их частичное отражение в волноводную зону. Здесь мы ограничимся главным образом рассмотрением явления рефракции нормальных волн в волноводной зоне и связанных с ним аспектов задачи.

Дисперсионное уравнение в виде трансцендентного уравнения (8), не разрешенного относительно μ_1 , не годится для аналитических операций, требующих определения μ_1 . Поэтому перейдем от (8) к параметрической системе двух уравнений. Сделаем это с помощью представления нормальной волны в клине в виде пары волн Бриллюэна [2].

Компоненты волновых векторов волн Бриллюэна нормальной волны, приходящей из $r = \infty$ под углом γ_0 к оси z , запишутся следующим образом:

$$k_z = k_1 \cos \gamma_0; \quad k_s = \pm \frac{\mu_1(r)}{r}; \quad k_r = \sqrt{k_1^2 - k_s^2 - k_z^2} = k_1^2 \times \\ \times \sqrt{\sin^2 \gamma_0 - \frac{\mu_1^2(r)}{k_1^2 r^2}}. \quad (12)$$

Компоненты k_r и k_z образуют волновой вектор нормальной волны. Если через γ обозначить угол между касательной к лучу нормальной волны в текущей точке и осью z , то получим

$$\text{tg } \gamma = \frac{dr}{dz} = k_r/k_z = \sqrt{\text{tg}^2 \gamma_0 - \frac{\mu_1^2(r)}{k_1^2 r^2 \cos^2 \gamma_0}} \quad (13)$$

или

$$k_1 r = \mu_1(r) \frac{\cos \gamma}{\sqrt{\cos^2 \gamma - \cos^2 \gamma_0}}. \quad (14)$$

Подставив (13) в (8), получим

$$\mu_1 \Phi = m\pi - \text{arctg} \left[l \sqrt{\frac{\cos^2 \gamma - \cos^2 \gamma_0}{\cos^2 \gamma_0 - n^2 \cos^2 \gamma}} \right]. \quad (15)$$

Уравнения (14) и (15) образуют параметрическую систему уравнений, эквивалентную уравнению (8). Параметр γ изменяется в пределах $0 \leq \gamma \leq \gamma_0$. Еще проще записать систему через параметр

$$\psi_1 = \text{arc sin} \left(\frac{\cos \gamma_0}{\cos \gamma} \right), \quad (16)$$

$$k_1 r = \mu_1 / \cos \psi_1;$$

$$\mu_1 \Phi = m\pi - \text{arctg} \left[l \frac{\cos \psi_1}{\sqrt{\sin^2 \psi_1 - n^2}} \right], \quad (17)$$

$$0 \leq \psi_1 \leq \arcsin n_1 \quad (18)$$

Параметр ψ_1 имеет смысл угла падения волны Бриллюэна на плоскость $\varphi = \text{const}$, что легко видеть из сравнения (12) и первого уравнения системы (17); $\cos \varphi_1 = k_s/k_1 = \mu_1/k_1 r$. Заметим, что первое уравнение системы (17) можно рассматривать как обобщенное выражение инварианта Вестона [5], выведенного им для частного случая плоской задачи, когда $\gamma_0 = \pi/2$, и зеркально отражающих границ, когда $\mu_1 = \text{const} = \pi/\Phi$. Систему (17) нетрудно приспособить и для параметрического представления дисперсионного уравнения в задаче для плоского слоя.

Одной из характерных линий в рефракционной картине является линия поворота нормальной волны (точка поворота в теории ВКБ). Из (10) видно, что на этой линии $r = r_{\text{пов}} = \mu_1/k_1 \sin \gamma_0$. Найдем ее из системы (17), применив к системе условие $\gamma = 0$, $\psi_1 = \arcsin(\cos \gamma_0)$:

$$r_{\text{пов}} = \frac{1}{k_1 \Phi \sin \gamma_0} \left\{ m\pi - \arcsin \left[l \frac{\sin \gamma_0}{\sqrt{\cos^2 \gamma_0 - n^2}} \right] \right\}. \quad (19)$$

Отсюда видно, что если $\cos \gamma_0 > n$, то $r_{\text{пов}} > r_m$ и нормальная волна, не доходя до границы волноводной зоны, отражается путем рефракции в сторону $r = \infty$. В этом случае нормальная волна нигде не выходит из клина. В предельном случае

$$\cos \gamma_0 = \cos \gamma_{0n} = n, \quad (20)$$

$r_m = r_{\text{пов}}$, т. е. линия поворота совпадает с границей волноводной зоны. В случае $\cos \gamma_0 < n$ нормальная волна выходит на $r = r_m$ из волноводной зоны и, следовательно, из клина.

Таким образом, при условии $\cos \gamma_0 \geq n$ наблюдается полное отражение нормальной волны в сторону $r = \infty$ аналогично полному внутреннему отражению плоской волны от плоской границы раздела с показателем преломления n . В этой аналогии нет ничего неожиданного, если учесть, что условие $\cos \gamma_0 \geq n$ эквивалентно условию $\sin \psi_1 \geq n$, т. е. условию полного внутреннего отражения волны Бриллюэна, падающей на границу $\varphi = \Phi$ под углом ψ_1 . Подстановкой $\text{tg } \gamma = dr/dz$ в (14) и (15) получается дифференциальное уравнение луча нормальной волны

$$k_1 r \Phi \sqrt{\sin^2 \gamma_0 - \cos^2 \gamma_0 (dr/dz)^2} = m\pi - \arcsin \left[l \sqrt{\frac{\sin^2 \gamma_0 - \cos^2 \gamma_0 \left(\frac{dr}{dz}\right)^2}{\cos^2 \gamma_0 - n^2 + \cos^2 \gamma_0 \left(\frac{dr}{dz}\right)^2}} \right]. \quad (21)$$

Уравнение (21) в результате интегрирования и уравнение (19) дают параметрическую систему уравнений лучей нормальной волны. Для расходящейся из точки $r = r_0$ ($z = 0$) нормальной волны эта система имеет вид

$$r = \frac{1}{\Phi k_1 \cos \psi_1} \left\{ m\pi - \arcsin \left[l \frac{\cos \psi_1}{\sqrt{\sin^2 \psi_1 - n^2}} \right] \right\}; \quad (22)$$

$$z = \frac{\sin \psi_0 \cos \vartheta_0}{1 - \sin^2 \psi_0 \cos^2 \vartheta_0} \left\{ \pm r \sqrt{\sin^2 \psi_1 - \sin^2 \psi_0 \cos^2 \vartheta_0} \pm r_0 \sin \psi_0 \sin \vartheta_0 + \right.$$

$$+ \frac{\sqrt{1-n^2} \operatorname{arth}}{\Phi k_1 \sqrt{a} \operatorname{arch}} \left[\frac{\pm l \sqrt{a} \sqrt{1-n^2} [\pm \sqrt{(\sin^2 \psi_1 - \sin^2 \psi_0 \cos^2 \vartheta_0) (\sin^2 \psi_0 - n^2 \pm} \times \right. \\ \left. \times \frac{\pm \sin \psi_0 \sin \vartheta_0 \sqrt{\sin^2 \psi_1 - n^2}}{\sqrt{\sin^2 \psi_1 - \sin^2 \psi_0 \cos^2 \vartheta_0}} \right] \}. \quad (23)$$

Здесь ψ_0 значение параметра ψ_1 в точке источника $(r_0, 0)$, ϑ_0 — угол выхода луча относительно оси z , $a = \sin^2 \psi_0 \cos^2 \vartheta_0 + l^2 (1 - \sin^2 \psi_0 \cos^2 \vartheta_0)$. Верхний знак перед радикалом берется до точки поворота луча, где

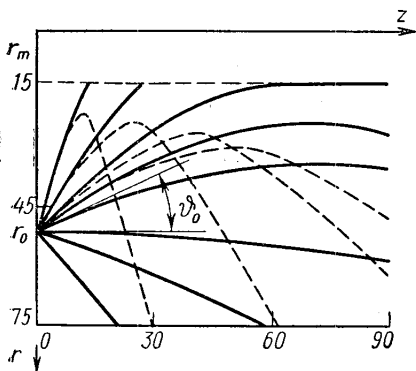


Рис. 3

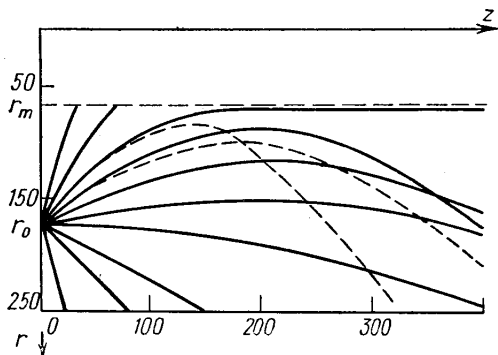


Рис. 4

$\sin \psi_1 = \sin \psi_0 \cos \vartheta_0$, нижний — после точки поворота. В промежутке углов $\cos \vartheta_{0n} < |\cos \vartheta_0| < 1$ берется arth , вне этого промежутка берется arch . Предельный угол $\vartheta_{0n} = \arccos n / \sin \psi_0$; на рис. 3 и 4 изображены лучевые картины расходящейся нормальной волны в клине $\Phi = 4^\circ$, $n = 0,64$, $l = 1,59$, $f = 33$ кГц для $m = 1$ и $m = 3$ соответственно. (Пунктиром для сравнения изображены лучи нормальной волны в идеальном клине при соответствующих условиях.) Центральный участок фронта нормальной волны $\vartheta_{0n} < \vartheta_0 < \pi - \vartheta_{0n}$ пересекает границу волноводной зоны $r = r_m$, а примыкающие к нему фланги $0 < \vartheta_0 < \vartheta_{0n}$, $\pi - \vartheta_{0n} < \vartheta_0 < \pi$ полностью отражаются в результате рефракции в сторону $r = \infty$. Профиль нормальной волны опускается в полупространство по мере движения волны вдоль луча до точки поворота (см. рис. 2), за точкой поворота он снова поднимается.

Из дисперсионного уравнения (8) следует, что с увеличением порядка m нормальная волна в «неидеальном» клине становится подобной нормальной волне в «идеальном» клине, поскольку зависящая от r часть μ_1 , никогда не превышающая $\pi/2$, становится незначительной добавкой к константе $m \frac{\pi}{\Phi}$, представляющей μ в «идеальном» клине.

Расчет интерференционной структуры поля расходящейся нормальной волны связан с еще более громоздкими, чем в «идеальном» клине [6], выражениями. Приведем лишь некоторые асимптотические оценки дальнего поля для достаточно больших значений r . Граница зоны тени в дальнем поле определяется асимптотой каустики

$$\sin \gamma_0 = \frac{\mu_1(r)}{k_1 r_0} \quad (24)$$

(γ_0 имеет смысл полярного угла), $\gamma_0 = \arccos \frac{z}{\sqrt{r^2 + z^2}}$.

Из (8) видно, что, если r_0 достаточно велико, то $\mu_1(r_0) = m \frac{\pi}{\Phi}$, и, следовательно, асимптоты каустики, определяющие ширину характеристики направленности поля нормальной волны в клине от точечного источника, рассчитываются по формуле «идеального» клина.

Амплитуда $|W_m^-|$ прямой волны (прямую волну представляет участок фронта $\pi < \vartheta_0 < 2\pi$, отраженную — $0 < \vartheta_0 < \pi$) определяется выражением

$$|W_m^-| = A \frac{k_1 r_0 \sin \gamma_0}{\sqrt{k_1^2 r_0^2 \sin^2 \gamma_0 - \mu_1^2(r_0)}}, \quad \text{отраженной волны} \quad |W_m^+| = A V(\gamma_0) \times \\ \times \frac{k_1 r_0 \sin \gamma_0}{\sqrt{k_1^2 r_0^2 \sin^2 \gamma_0 - \mu_1^2(r_0)}}.$$

Коэффициент A определяется мощностью источника, $V(\gamma_0)$ — модуль коэффициента отражения. В первом приближении

$$|V(\gamma_0)| = \prod_j^N v(\psi_{zj}),$$

$$v(\psi_{zj}) = \frac{l \cos \psi_{zj} \sin \gamma_0 - \sqrt{n^2 - 1 + \cos^2 \psi_{zj} \sin^2 \gamma_0}}{l \cos \psi_{zj} \sin \gamma_0 + \sqrt{n^2 - 1 + \cos^2 \psi_{zj} \sin^2 \gamma_0}},$$

$$\psi_{zj} = \arccos \frac{\sqrt{1 - n^2}}{\sin \gamma_0} - (2j - 1) \Phi, \quad j = 1, 2, 3, \dots, N,$$

$$N = \left\{ \arccos [\sqrt{1 - n^2}] / \sin \gamma_0 \frac{1}{\Phi} \right\}$$

(N — округленная до целого числа величина). Отражение центральной части фронта $\vartheta_{0n} < \vartheta_0 < \pi$ происходит в неволноводной зоне и сопровождается ослаблением волны за счет преломления в полупространство.

При не очень малых n и малых Φ амплитуда в центральной части отраженной волны незначительна. Это видно из графиков рис. 5, построенных для четырех случаев: 1 — $n=0,64$; $l=1,59$; $\Phi=4^\circ$; 2 — $n=0,64$, $l=1,59$, $\Phi=12^\circ$; 3 — $n=0,83$, $l=0,37$, $\Phi=4^\circ$ и 4 — $\Phi=12^\circ$. При некогерентном сложении прямой и отраженной волны получаем

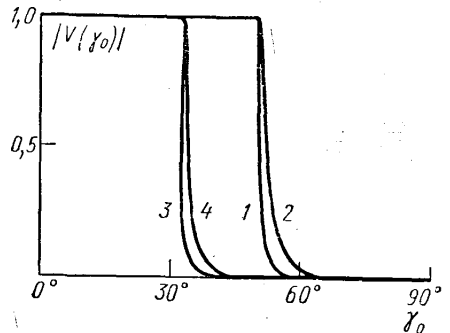


Рис. 5

$$|W_m| = |W_m^-| + |W_m^+| = [1 + V(\gamma_0)] J \frac{k_1 r_0 \sin \gamma_0}{k_1^2 r_0^2 \sin^2 \gamma_0 - \mu_1^2(r_0)}.$$

Это выражение не описывает поле в зоне тени, в окрестности каустики, поскольку на каустике оно обращается в ∞ . В зоне тени, на каустике и в ее окрестности поле описывается функцией Бесселя

$$|W_m| \approx A J_{\mu_1(r_0)}(k_1 r_0 \sin \gamma_0) \text{ в промежутке углов } 0 \leq \gamma_0 \leq \arcsin \frac{\mu_1(r_0)}{k_1 r_0} + \Delta \delta_0.$$

Поле точечного источника в клине с координатами $r=r_0$, $z=0$ и $\varphi=\varphi_0$ представляется рядом нормальных волн, содержащим практически конечное число членов:

$$\psi = 2A \frac{\pi}{\Phi} \sum_{m=1}^M \frac{1}{F(\mu)} \sin [\mu(r_0) \varphi_0] \sin [\mu_1(r_0) \varphi] W_m(r, z).$$

Число M равно числу нормальных волн, для которых $z_0 \geq r_m$, т. е. $M = \{k_1 r_0 \Phi \sqrt{1-n^2 + \pi/2}\}$.

На основании изложенных результатов, описывающих поля нормальных волн, рассчитывается распространение низкочастотного звука в полосе шельфа. Для расчета высокочастотных полей в полосе шельфа можно воспользоваться методом мнимых источников [7]. Тот или другой метод выбирается путем сравнения чисел M и $N = \left\{ \frac{2\pi}{\Phi} \right\}$ (число мнимых источников, исключая дифракционные). Если число нормальных волн M больше числа мнимых источников N , то для расчета поля наряду с методом нормальных волн, незаменимого в периферийной области, целесообразно прибегать к методу мнимых источников в «центральной» части освещенной области. В качестве условной границы между «центральной» и периферийной областью можно принять линию каустики N -й нормальной волны.

ЛИТЕРАТУРА

1. Бреховских Л. М. Волны в слоистых средах. М., Изд-во АН СССР, 1957, стр. 437.
2. Кузнецов В. К. Представление волноводного поля в клине от точечного источника в виде волн Бриллюэна. VI Всесоюзная акустическая конференция (А-IV-5). М., 1968.
3. Кузнецов В. К. «Акустический журнал», 5, 2, 170—175, 1959.
4. Кузнецов В. К., Низамов В. Т. Труды VI Всесоюзной акустической конференции, (А-IV-6), М., 1968.
5. Weston D. E. Guided Propagation in a slowly varying Medium, Proc. Phys. Soc. (London), 73, 365—384, 1959.
6. Кузнецов В. К. «Вестн. Моск. ун-та», физ., астрон., № 3, 19—21, 1967.
7. Кузнецов В. К. «Акустический журнал», 18, 2, 1972.

Поступила в редакцию
13 1971 г.

Кафедра
акустики